

М.Б.Вахитов, Л.М.Конюхова

РАСЧЕТ КРЫЛЬЕВ БОЛЬШОЙ КОНУСНОСТИ

В последние годы теория расчета тонкостенных конструкций, разработанная в [1], получила практическое применение для реальных конструкций в варианте численной методики [2], основанной на аппарате интегрирующих матриц [3]. По сравнению с методом конечных элементов (МКЭ) эта методика обладает меньшей трудоемкостью расчета благодаря использованию гипотезы неизменяемости формы поперечного сечения в процессе деформации. Именно поэтому в рамках этой методики удалось реализовать такие сложные задачи, как расчет крыла за пределом пропорциональности [4], расчет крыла с учетом изменения присоединенной площади обшивки в зависимости от уровня получаемых напряжений [5] и др. Более того, на базе теории [1] разработана методика расчета крыльев [6], в которой учитывается и деформация нервюр, т.е. не используется гипотеза неизменяемости формы поперечного сечения крыла в процессе деформации. При этом принимается дискретно-континуальная расчетная схема крыла, являющаяся обобщением дискретной, лежащей в основе МКЭ.

В теории [1] используется допущение о том, что углы между продольными ребрами (пооясами лонжеронов, стрингерами) и осью OZ_0 , направленной по размаху (рис. 1), малы. Для современных крыльев малого удлинения, имеющих стреловидность и большое сужение, подобное допущение может быть принято не для всех ребер. В настоящей работе теория [1] обобщается на случай крыла с продольными ребрами, имеющими произвольные углы с осью OZ_0 . Следует отметить, что в [7,8] предпринимались попытки такого обобщения, но лишь для конструкций частного вида. Здесь же рассматривается конструкция крыла общего вида в предположении, что ребра прямолинейны, а лонжероны имеют небольшой перепад по высоте. В отношении силовой работы элементов

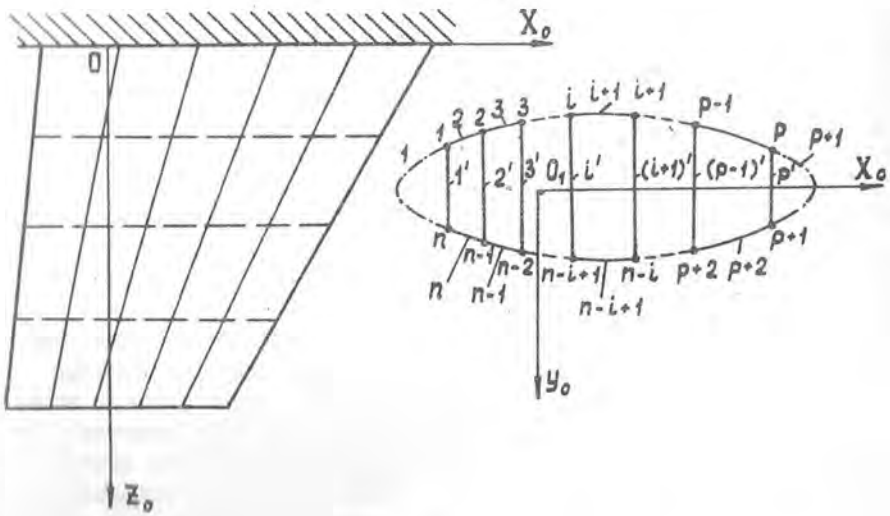


Рис. 1

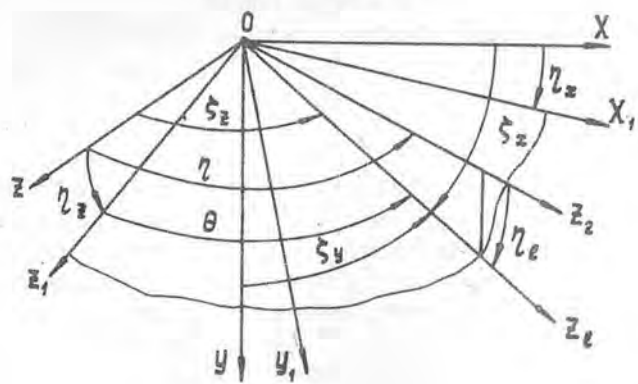


Рис. 2

конструкции приняты те же допущения, что и в [1]: продольные ребра работают только на нормальные, а обшивка — только на касательные напряжения.

В дальнейшем используются следующие обозначения:

X_0, Y_0, Z_0 — общая система координат для крыла с началом в произвольной точке корневого сечения (рис. 1); XU, Z — местная система координат, параллельная X_0, Y_0, Z_0 , с началом в рассматриваемой точке поперечного сечения; X, Y, Z_1 — местная система координат, плоскость X, OZ_1 которой касательна к поверхности крыла в рассматриваемой точке, а ось OX_1 касательна к контуру поперечного сечения; OZ_2 — ось, проведенная вдоль образующей оболочки; OZ_2 — проекция оси OZ_2 на плоскость XOZ_1 ; $\xi_x, \xi_y, \xi_z, \theta$ — углы наклона ребра к осям OX, OY, OZ, OZ_1 (рис. 2); η_x, η_z, η_2 — углы между осями OX и OX_1, OZ и OZ_1, OZ_2 и OZ_2 соответственно; η — угол между осями OZ и OZ_2 (между плоскостью стенки лонжерона и осью OZ); $f = f(z)$ — перемещение точки поперечного сечения вдоль образующей; $u = u(z), v = v(z)$ — компоненты перемещения точки поперечного сечения вдоль осей OX_1 и OZ_1 .

Остальные обозначения элементов поперечного сечения, нумерация ребер, участков обшивки и стенок лонжеронов, матричные обозначения принимаем такими же, как и в [6].

Воспользуемся известным соотношением теории упругости

$$\frac{\partial u}{\partial z_1} + \frac{\partial v}{\partial x_1} = \frac{\rho}{G \delta} \quad (1)$$

Вследствие принятой гипотезы неизменяемости формы поперечного сечения перемещение u можно найти, рассматривая вращение сечения как жесткого диска относительно мгновенного центра \bar{O} (рис. 3). Для определения производной $\frac{\partial u}{\partial z_1}$ рассматриваем, как и в [1], относительное перемещение двух бесконечно близких сечений. Учитывая, что $dz_1 = \frac{dz}{\cos \eta_z}$, запишем [9]

$$\frac{\partial u}{\partial z_1} = \rho_0 \xi \cos \eta_z, \quad (2)$$

где ξ — относительный угол закручивания; ρ_0 — длина перпендикуляра к OX_1 из \bar{O} (рис. 3).

Далее в (2) используем формулу [9] перехода от мгновенного центра \bar{O} к началу общей системы координат

$$\frac{\partial u}{\partial z_1} = (z \xi - \alpha \cos \eta_x - \beta \sin \eta_x) \cos \eta_z, \quad (3)$$

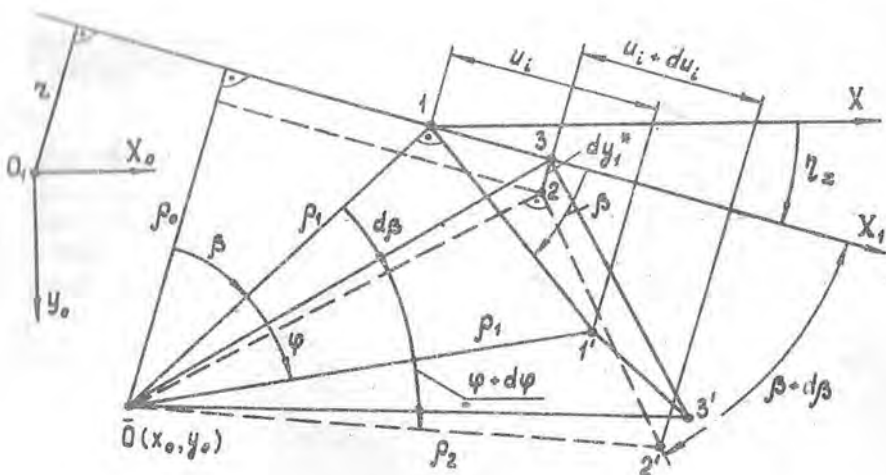


Рис.3

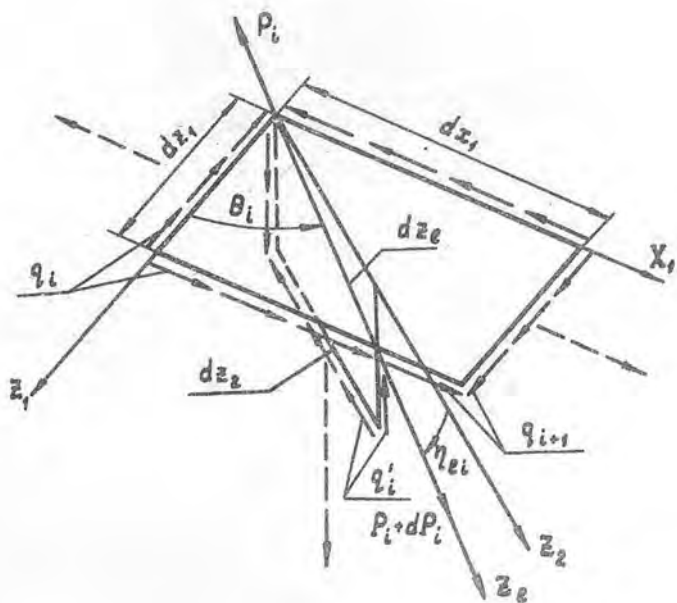


Рис.4

где

$$\alpha = -\xi y_0, \quad \beta = \xi x_0,$$

z - длина перпендикуляра к Ox_1 из точки пересечения оси Oz_0 с плоскостью поперечного сечения; x_0, y_0 - координаты мгновенного центра.

Подставим (3) в (1) и, интегрируя по x_1 в пределах i -ой панели обшивки (стенки), получим

$$v_{i-1} - v_i = \frac{q_i S_i}{G_i \delta_i} - [2w_i \xi - \alpha(x_i - x_{i-1}) - \beta(y_i - y_{i-1})] \cos \bar{\eta}_{zi}, \quad (4)$$

где $w_i = \frac{1}{2} \int_{S_i} r dx_1$ - секториальная площадь, соответствующая дуге контура S_i и мгновенному центру поворота сечения O_1 (рис.3); v_{i-1}, v_i - перемещения ребер, окаймляющих i -ую панель обшивки (стенки).

При интегрировании слагаемых, содержащих $\cos \eta_z$, в (4) применена теорема о среднем, т.к. в пределах одной панели $\cos \eta_z$ меняется слабо^{ж)}.

Из (4) найдем

$$q_i = \beta_i \{v_i - v_{i-1} + [2w_i \xi - \alpha(x_i - x_{i-1}) - \beta(y_i - y_{i-1})] \cos \bar{\eta}_{zi}\}. \quad (5)$$

Следуя [8], запишем (5) в матричной форме:

$$\{q\} = \Gamma \beta_i \{-M_n^T \{v\} + \Gamma \eta_i \{M\}^T \{\bar{z}\}\}, \quad (6)$$

где $\Gamma \beta_i$, $\Gamma \eta_i$ - диагональные матрицы порядка m из элементов $\beta_i = \frac{G_i \delta_i}{S_i}$ и $\cos \bar{\eta}_{zi}$ соответственно; $\{q\}$, $\{v\}$ - столбцы порядка m и n соответствующих величин для панелей (стенок) и ребер; M_n - числовая матрица порядка $n \times m$, состоящая из нулей и единиц [6];

$$\{M\} = \begin{bmatrix} [2w] \\ [x] \cdot M_n \\ [y] \cdot M_n \end{bmatrix}, \quad \{\bar{z}\} = \begin{Bmatrix} \xi \\ \alpha \\ \beta \end{Bmatrix}$$

ж) Для реальных конструкций можно принять $\cos \bar{\eta}_{zi}$ как среднее арифметическое между $\cos \eta_{zi-1}$ и $\cos \eta_{zi}$ и, относящимися к окаймляющим i -ую панель продольным ребрам. Это эквивалентно замене крыла складчатой конструкцией, как это принято в МКЭ.

$[2w]$, $[x]$, $[y]$ - матрицы-строки, состоящие соответственно из элементов $2w_i$, $x_i - x_{i-1}$, $y_i - y_{i-1}$.

Установим зависимость между внутренними усилиями в элементах конструкции. Для этого рассмотрим равновесие элемента конструкции, включающего обшивку, продольное ребро и, для общности, стенку лонжерона (рис. 4)*. Записывая условие равновесия элемента, имеем

$$-q_i dz_{ei} \cos \theta_i + q_{i+1} dz_{ei} \cos \theta_i - q'_i dz_{ei} \cos \theta_i + dP_i \cos \theta_i = 0. \quad (7)$$

В связи с малым перепадом высот лонжерона здесь принято $\cos \theta_{ei} \approx 1$. Из (7) имеем

$$P_i = -\frac{dP_i}{dz_{ei}} = q_{i+1} - (q_i + q'_i). \quad (8)$$

В матричной форме (8) запишется так [6]:

$$\{P\} = M_n \{q\}, \quad (9)$$

где $\{P\}$ - столбец порядка n .

Неизвестным в уравнениях (6) и (9) является столбец $\{\bar{z}\}$ - общие относительные деформации крыла. Запишем их как функцию перемещения $\{v\}$ из уравнений равновесия. Благодаря (9) система шести уравнений равновесия сил в сечении сводится к трем (см. [6]):

$$[M]\{q\} - [N]\{P\} - \{m\} = 0, \quad (10)$$

где $\{P\}$ - столбец порядка n осевых усилий в продольных ребрах;

$$[N] = \begin{bmatrix} Ly \cos \zeta_x - x \cos \zeta_y \\ L \cos \zeta_x \\ L \cos \zeta_y \end{bmatrix}, \quad \{m\} = \begin{bmatrix} M_z \\ -Q_x \\ -Q_y \end{bmatrix}$$

* Элемент вырезан плоскостями, проходящими через грани участка обшивки dx , и dz . Две из них параллельны плоскости поперечного сечения, две другие - им перпендикулярны. Кроме того, участок стенки dz отсекается от остальной части крыла плоскостью, перпендикулярной оси Oy . При таком выборе плоскостей, отсекающих элемент, соблюдается условие, необходимое для использования закона парности касательных напряжений.

Известно, что

$$P_i = E_i F_i \frac{df_i}{dz_{ei}}, \quad (II)$$

где f_i - осевое перемещение точек продольного ребра; z_{ei} - координата, отсчитываемая вдоль ребра.

Установим связь между компонентами перемещения u_i , v_i и f_i (рис. 5). Она получится, если спроектировать u_i и v_i на направление ребра:

$$f_i = v_i \cos \theta_i + u_i \sin \theta_i. \quad (I2)$$

Подставив (I2) в (II), получим

$$P_i = E_i F_i \left(\frac{dv_i}{dz_{ei}} \cos \theta_i + \frac{du_i}{dz_{ei}} \sin \theta_i \right). \quad (I3)$$

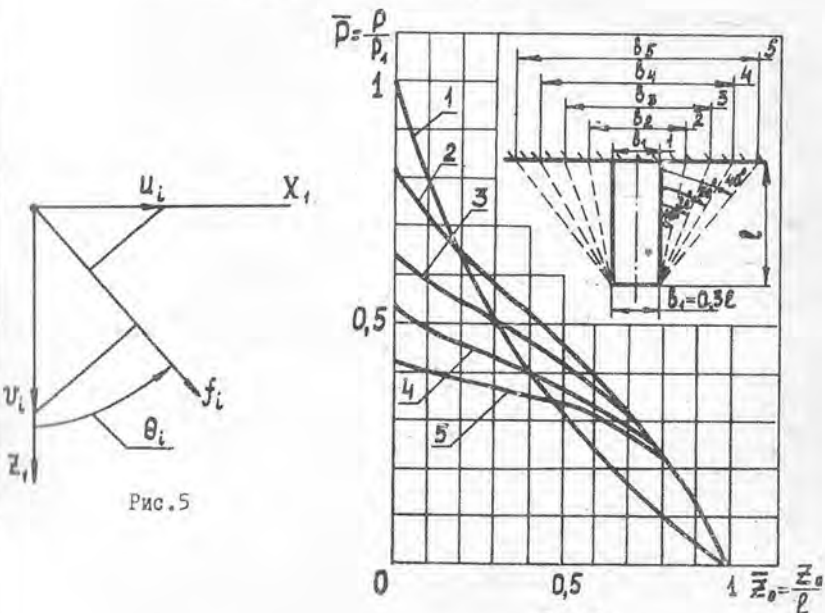


Рис. 5

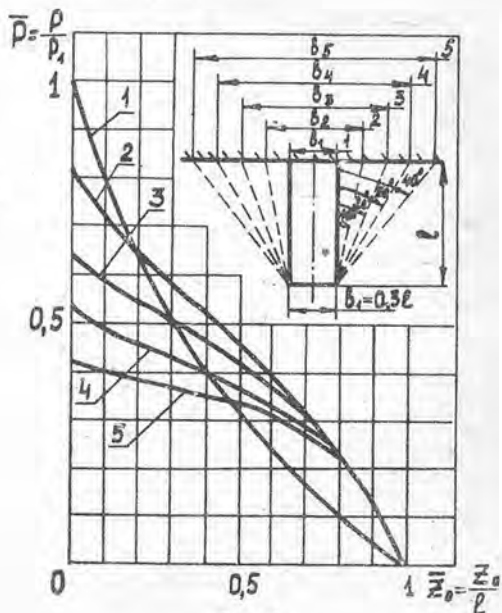


Рис. 6

Заметим, что в (II) и (I3) фигурируют обыкновенные производные, так как перемещения точек ребра f_i , u_i , v_i являются функциями одной переменной - координаты z_{ei} .

Запишем $\frac{du_i}{dz_{ei}}$ с учетом гипотезы неизменяемости формы поперечного сечения в процессе деформации^{*)}. Рассматривая проекции элемента ребра (рис. 3) на плоскость поперечного сечения до (I-2) и после (I'-2') деформации, имеем

$$u_i = \rho_1 \varphi \cos \beta = \rho_0 \varphi, \quad (14)$$

$$u_i + du_i = \rho_2 (\varphi + d\varphi) \cos (\beta + d\beta) = \rho_0 \varphi + \rho_0 d\varphi - \varphi dy_1^* - d\varphi dy_1^*, \quad (15)$$

где dy_1^* - проекция dy_1 на плоскость поперечного сечения.

В (15) можно пренебречь двумя последними членами, как малыми второго порядка, тогда

$$du_i = \rho_0 d\varphi. \quad (16)$$

С учетом того, что $d\varphi = \xi dz$ и $dz_{ei} = \frac{dz}{\cos \zeta_{zi}}$, получим

$$\frac{du_i}{dz_{ei}} = \rho_0 \xi \cos \zeta_{zi}. \quad (17)$$

Подставим (17) в (13), вторично воспользуемся формулой перехода от ρ_0 , отсчитываемого от мгновенного центра, к τ , отсчитываемого от начала общей системы координат [12], и найдем

$$P_i = E_i F_i \cos \zeta_{zi} \left[\frac{dv_i}{dz} \cos \theta_i + (\tau \xi - \alpha \cos \eta_x - \beta \sin \eta_x) \sin \theta_i \right], \quad (18)$$

что в матричной форме запишется так:

$$\{P\} = [C_1] \{v'\} + [C_2] [S]^T \{\bar{z}\}, \quad (19)$$

где $[C_1]$, $[C_2]$ - диагональные матрицы порядка n значений

$$C_{1i} = E_i F_i \cos \zeta_{zi} \cos \theta_i \quad \text{и} \quad C_{2i} = E_i F_i \cos \zeta_{zi} \sin \theta_i;$$

$$[S] = \begin{bmatrix} L \tau \\ L - \cos \eta_x \\ L - \sin \eta_x \end{bmatrix}$$

Для получения разрешающего уравнения решаем совместно (6), (9), (10), (19). Исключим $\{\bar{z}\}$ и $\{q\}$ из этих уравнений и получим $\{p\}$ и $\{P\}$ через $\{v'\}$, $\{v\}$ и внешнюю нагрузку $\{M\}$.

Далее, используя связь между P_i и $p_i = -\frac{dP_i}{dz_{ei}}$, получим оконча-

^{*)} Использование формулы (3) здесь неправомерно, т.к. она получена для поля точек, расположенного на поверхности оболочки, для которых $u(x, z)$ - функция двух переменных.

тельное разрешающее уравнение для определения $\{v'\}$:

$$-\{[A_4]\{v'\} + [A_5]\{v\} + [A_6]\{m_i\}\}' = [A_1]\{v'\} + [A_2]\{v\} - [A_3]\{m_i\}, \quad (20)$$

где $[A_j]$ - функциональные матрицы, получающиеся в результате решения системы уравнений ($j = 1, \dots, 6$)^{ж)}.

Таким образом, получено матричное дифференциальное уравнение (20) относительно перемещений тонкостенной конструкции с произвольной конусностью. В частном случае малой конусности оно принимает вид:

$$-[A_4]\{v''\} = [A_1]\{v'\} + [A_2]\{v\} + [A_3]\{m_i\}, \quad (21)$$

что является матричной формой уравнений (I2₄) работы [1].

Для апробирования разработанной методики рассмотрена серия крыльев, полученных из четырехпоясного кессона постоянного поперечного сечения в виде прямоугольника путем увеличения корневой хорды. Они имеют угол конусности в плане от 0° до 40° (рис.6). Расчет производился от действия крутящего момента, приложенного к свободному торцу.

Как и следовало ожидать, с увеличением угла конусности осевое усилие в заделке уменьшается вследствие роста жесткости кессона на кручение. В то же время нарастание осевого усилия от нагруженного торца происходит более резко, чем для кессона постоянного сечения, так как в отличие от последнего стеснение деформации происходит здесь не только в заделке, но и по всей длине в связи с изменением жесткости сечения на кручение.

Л и т е р а т у р а

1. Одинокоев Ю.Г. Напряжения и деформации в тонкостенных конструкциях переменного сечения. Труды КАИ, вып. 20, 1948.
2. Вахитов М.Б., Сафонов А.С. Расчет тонкостенных конструкций с большими вырезами. Труды КАИ, вып. 139, 1971.

^{ж)} В связи с недостатком места они здесь не записаны.

3. Вахитов М.Б. Интегрирующие матрицы - аппарат численного решения дифференциальных уравнений строительной механики. ИВУЗ, "Авиационная техника", № 3, 1966.
4. Вахитов М.Б., Сафонов А.С. К расчету тонкостенного крыла малого удлинения за пределами пропорциональности. ИВУЗ, "Авиационная техника", № 2, 1972.
5. Вахитов М.Б., Сафариев М.С., Сафонов А.С. К расчету прочности тонкостенных конструкций с учетом редуцирования обшивки по уровню действующих напряжений. "Вопросы прочности элементов авиационных конструкций", Межвузовский сборник, вып. I, 1975.
6. Вахитов М.Б., Ларионов И.Г. Теория расчета крыла малого удлинения по дискретно-континуальной расчетной схеме. (Матричное дифференциальное уравнение осевых перемещений). ИВУЗ, "Авиационная техника", № 2, 1975.
7. Соловьев Е.Г. К расчету скошенных тонкостенных лонжеронных конструкций. Труды КуАИ, вып. 2, 1954.
8. Вахитов М.Б. Влияние упругости нервюр на напряжения в кессоне. Труды КАИ, вып. 33-34, 1958.
9. Одинокоев Ю.Г. Расчет тонкостенных конструкций типа крыла, фюзеляжа и оперения самолетов. Труды КАИ, вып. 18, 1946.